

Capítulo 1

Teoria da radiação

1.1 Notação a utilizar

Neste documento lida-se com grandezas escalares e com grandezas vectoriais, ambas simultaneamente dependentes do espaço e do tempo. No que à variação temporal diz respeito, na maior parte do texto, assume-se uma variação sinusoidal (a fonte do campo produz uma única frequência). Diz-se então que se está em regime harmónico sinusoidal. Neste regime, por facilitar os cálculos, é usual trabalhar-se com os fasores das grandezas (omitindo-se a variação temporal) em vez das grandezas reais. Torna-se então necessário criar uma simbologia que permita distinguir grandezas escalares de grandezas vectoriais bem como distinguir grandezas reais dos fasores que as representam. Assim sendo, será utilizada a seguinte notação: uma barra sobre a letra que representa uma determinada grandeza indica que esta é um fasor. A ausência dessa barra indica que a letra representa uma grandeza real. De igual modo, um til sob a letra representa um vector e uma grandeza sem o til será um escalar. Uma barra e um til simultâneos indicam que a letra representa um fasor de uma grandeza vectorial. Os vectores unitários distinguem-se dos vectores “normais” através da inclusão de um acento circunflexo. Alguns exemplos são mostrados de seguida

f ou F — Grandeza escalar real ou uma constante

\mathbf{F} — Grandeza vectorial real

\bar{f} ou \bar{F} — Fasor de uma grandeza escalar

$\bar{\mathbf{F}}$ — Fasor de uma grandeza vectorial

$\hat{\mathbf{a}}_k$ — Vector unitário

1.2 Radiação

Todos os fenómenos electromagnéticos (dos quais a radiação é apenas uma parte) obedecem às equações de *Maxwell*. Na forma diferencial, estas tomam o seguinte aspecto

$$\nabla \times \underline{\mathbf{E}} = -\frac{\partial \underline{\mathbf{B}}}{\partial t} \quad (1.1)$$

$$\nabla \times \underline{\mathbf{H}} = \frac{\partial \underline{\mathbf{D}}}{\partial t} + \underline{\mathbf{J}} \quad (1.2)$$

$$\nabla \cdot \underline{\mathbf{B}} = 0 \quad (1.3)$$

$$\nabla \cdot \underline{\mathbf{D}} = \rho \quad (1.4)$$

onde

$\underline{\mathbf{E}}$ – Campo eléctrico [V/m]

$\underline{\mathbf{D}}$ – Densidade de fluxo eléctrico [C/m²]

$\underline{\mathbf{H}}$ – Campo magnético [A/m]

$\underline{\mathbf{B}}$ – Densidade de fluxo magnético [Wb/m²]

$\underline{\mathbf{J}}$ – Densidade de corrente eléctrica [A/m²]

ρ – Densidade de carga eléctrica [C/m³]

Nas equações de *Maxwell*, $\underline{\mathbf{J}}$ e ρ são as fontes do campo electromagnético e os campos são o efeito da existência destas fontes.

Considere-se um qualquer campo F simultaneamente dependente do tempo e do espaço. Se admitirmos que as variações espaciais e temporais podem ser separadas e postas na seguinte forma $F(x, y, z, t) = A(x, y, z) \cos(\omega t + \phi)$, ou seja, assumindo regime harmónico sinusoidal, podemos escrever

$$F(x, y, z, t) = \Re \left\{ A(x, y, z) e^{j\phi} e^{j\omega t} \right\} \quad (1.5)$$

À grandeza $\bar{F}(x, y, z) = A(x, y, z) e^{j\phi}$ chama-se fasor de $F(x, y, z, t)$. Note-se que o fasor apenas inclui a eventual dependência espacial sendo omitida a dependência temporal (por ser implícito que esta última é sinusoidal).

Notando então que

$$\frac{\partial}{\partial t} A(x, y, z) e^{j\phi} e^{j\omega t} = j\omega A(x, y, z) e^{j\phi} e^{j\omega t} \quad (1.6)$$

resulta

$$\frac{\partial}{\partial t} = j\omega \quad (1.7)$$

Assim sendo, as derivadas em ordem ao tempo podem então ser substituídas por $j\omega$. Fazendo esta substituição nas equações de *Maxwell*, estas ficam como se segue

$$\nabla \times \bar{\mathbf{E}} = -j\omega \bar{\mathbf{B}} \quad (1.8)$$

$$\nabla \times \bar{\mathbf{H}} = j\omega \bar{\mathbf{D}} + \bar{\mathbf{J}} \quad (1.9)$$

$$\nabla \cdot \bar{\mathbf{B}} = 0 \quad (1.10)$$

$$\nabla \cdot \bar{\mathbf{D}} = \bar{\rho} \quad (1.11)$$

Note-se que, como $\nabla \cdot$ e $\nabla \times$ envolvem apenas derivadas em ordem às coordenadas do espaço, o termo $e^{j\omega t}$ pode ser omitido. No entanto, se pretendermos recuperar a dependência temporal dos campos, este termo tem que ser introduzido.

Na maior parte dos meios e para a maior parte das aplicações, verificam-se as seguintes relações

$$\bar{\mathbf{B}} = \mu \bar{\mathbf{H}} \quad (1.12)$$

$$\bar{\mathbf{D}} = \varepsilon \bar{\mathbf{E}} \quad (1.13)$$

Fazendo uso destas relações nas equações de *Maxwell*, estas ficam então como se segue

$$\nabla \times \bar{\mathbf{E}} = -j\omega \mu \bar{\mathbf{H}} \quad (1.14)$$

$$\nabla \times \bar{\mathbf{H}} = j\omega \varepsilon \bar{\mathbf{E}} + \bar{\mathbf{J}} \quad (1.15)$$

$$\nabla \cdot \bar{\mathbf{B}} = 0 \quad (1.16)$$

$$\nabla \cdot \bar{\mathbf{D}} = \bar{\rho} \quad (1.17)$$

Se o meio onde os campos existem for o vazio (o que, no estudo de antenas, é condição habitual) tem-se

$$\varepsilon_0 \cong \frac{1}{36\pi} \times 10^{-9} \text{ F/m} \quad (1.18)$$

$$\mu_0 = 4\pi \times 10^{-7} \text{ H/m} \quad (1.19)$$

A resolução de problemas de radiação consiste então em calcular os campos radiados partindo do princípio que a distribuição de cargas e correntes é conhecida. Sendo as equações de *Maxwell* equações diferenciais, a solução de um determinado problema de radiação passará por um processo de integração, tal como é mostrado no caminho superior indicado na figura 1.1. No entanto, dada a elevada dificuldade das integrações envolvidas, este caminho só pode ser seguido de forma

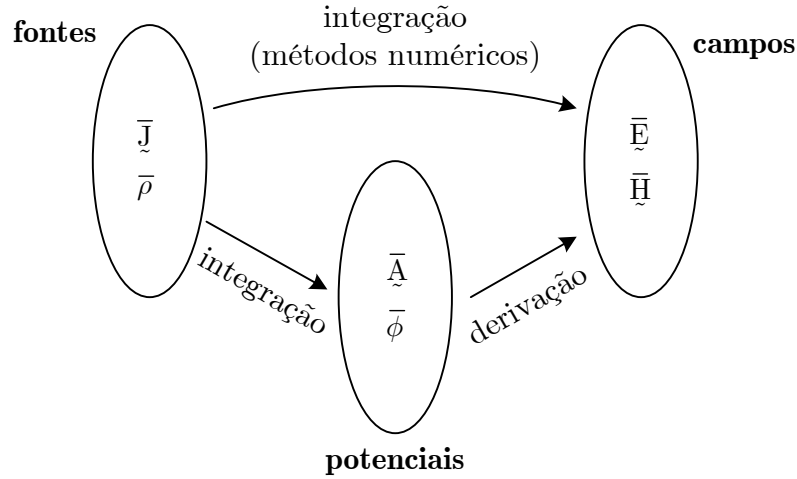


Figura 1.1: Diagrama de blocos para calcular o campo electromagnético

analítica num conjunto restrito de casos. Nos restantes casos, a resolução do problema por esta via é feita recorrendo a computadores de modo a resolver as equações de *Maxwell* utilizando métodos numéricos. Uma alternativa à resolução directa das equações de *Maxwell* consiste em dividir o processo de cálculo em dois passos. Para tal é necessário introduzir funções adicionais, denominadas de potenciais. Por este caminho, mostrado na parte inferior da figura 1.1, passa-se agora por uma integração e uma derivação. No entanto, como derivar é sempre possível e como a integração envolvida é de mais baixa dificuldade, este caminho torna-se mais adequado à resolução de problemas de radiação. A forma como os potenciais são obtidos e como os campos são obtidos a partir destes será apresentada de seguida.

Comecemos então com a equação 1.16 por ser a mais simples. Como a divergência de \vec{B} é nula, este pode ser obtido através do rotacional de um outro qualquer campo vectorial¹, isto é

$$\vec{B} = \nabla \times \vec{A} \quad (1.20)$$

Como $\vec{B} = \mu\vec{H}$ resulta ainda

$$\vec{H} = \frac{1}{\mu} \nabla \times \vec{A} \quad (1.21)$$

Esta última equação permite-nos o cálculo imediato de \vec{H} a partir do potencial vector \vec{A} , partindo do princípio que este é conhecido. Em vez de nos preocuparmos já com o cálculo de \vec{A} procuremos primeiro se também é possível obter \vec{E} a partir do potencial vector \vec{A} . Utilizando o resultado anterior na equação 1.14 (porque não envolve termos com cargas ou correntes) vem

$$\nabla \times \vec{E} = -j\omega \nabla \times \vec{A} \quad (1.22)$$

¹Estamos simplesmente a recorrer à igualdade matemática $\nabla \cdot (\nabla \times \vec{A}) = 0$

que pode ainda se posto na forma

$$\nabla \times [\bar{\mathbf{E}} + j\omega\bar{\mathbf{A}}] = 0 \quad (1.23)$$

Como o rotacional de $(\bar{\mathbf{E}} + j\omega\bar{\mathbf{A}})$ é nulo, esta grandeza pode ser obtida através do gradiente de um qualquer campo escalar², ou seja

$$\bar{\mathbf{E}} + j\omega\bar{\mathbf{A}} = -\nabla\bar{\phi} \quad (1.24)$$

Manipulando os termos vem ainda

$$\bar{\mathbf{E}} = -\nabla\bar{\phi} - j\omega\bar{\mathbf{A}} \quad (1.25)$$

Esta última equação permite-nos calcular o valor de $\bar{\mathbf{E}}$ a partir do potencial vector $\bar{\mathbf{A}}$ e do potencial escalar $\bar{\phi}$.

Dispomos então de duas equações que nos permitem efectuar o cálculo imediato dos campos $\bar{\mathbf{E}}$ e $\bar{\mathbf{H}}$ a partir do potencial vector $\bar{\mathbf{A}}$ e do potencial escalar $\bar{\phi}$. O próximo passo consiste em obter uma relação entre os potenciais e as fontes geradoras do campo o que facilmente se infere que pode ser feito relacionando a equação 1.15 com os resultados já obtidos. Como a equação 1.15 envolve o rotacional de $\bar{\mathbf{H}}$, comecemos por aplicar o rotacional a cada um dos termos de 1.21

$$\nabla \times \bar{\mathbf{H}} = \frac{1}{\mu} \nabla \times \nabla \times \bar{\mathbf{A}} \quad (1.26)$$

Utilizando a igualdade matemática

$$\nabla \times \nabla \times \bar{\mathbf{A}} = \nabla (\nabla \cdot \bar{\mathbf{A}}) - \nabla^2 \bar{\mathbf{A}} \quad (1.27)$$

resulta

$$\mu \nabla \times \bar{\mathbf{H}} = \nabla (\nabla \cdot \bar{\mathbf{A}}) - \nabla^2 \bar{\mathbf{A}} \quad (1.28)$$

Fazendo agora uso da equação 1.15 vem

$$\mu \bar{\mathbf{J}} + j\omega\mu\varepsilon\bar{\mathbf{E}} = \nabla (\nabla \cdot \bar{\mathbf{A}}) - \nabla^2 \bar{\mathbf{A}} \quad (1.29)$$

Substituindo 1.25 na equação anterior resulta

$$\nabla^2 \bar{\mathbf{A}} + \beta^2 \bar{\mathbf{A}} = -\mu \bar{\mathbf{J}} + \nabla (\nabla \cdot \bar{\mathbf{A}} + j\omega\varepsilon\mu\bar{\phi}) \quad (1.30)$$

²Agora estamos a recorrer à igualdade matemática $\nabla \times (-\nabla\phi) = 0$. O sinal negativo foi escolhido por conveniência.

com

$$\beta^2 = \omega^2 \mu \varepsilon \quad (1.31)$$

Agora dispomos de uma equação que relaciona o potencial vector $\bar{\mathbf{A}}$ com a densidade de corrente $\bar{\mathbf{J}}$. Para simplificar esta expressão começemos por relembrar que em todo o processo seguido até aqui apenas especificamos o valor de $\nabla \times \bar{\mathbf{A}}$. Como a divergência e o rotacional de um campo vectorial são independentes, podemos especificar um qualquer valor para $\nabla \cdot \bar{\mathbf{A}}$. No caso particular dos problemas de radiação, resulta da equação 1.30 que é útil efectuar a seguinte definição

$$\nabla \cdot \bar{\mathbf{A}} = -j\omega\varepsilon\mu\bar{\phi} \quad (1.32)$$

Esta condição é conhecida como condição de *Lorentz*. Como esta condição obriga a que $\bar{\mathbf{A}}$ e $\bar{\phi}$ estejam relacionadas, então apenas $\bar{\mathbf{A}}$ irá ser necessário para o cálculo dos campos. Deste modo a equação 1.30 toma a seguinte forma simplificada

$$\nabla^2 \bar{\mathbf{A}} + \beta^2 \bar{\mathbf{A}} = -\mu \bar{\mathbf{J}} \quad (1.33)$$

Como também se verifica

$$\bar{\phi} = -\frac{1}{j\omega\varepsilon\mu} \nabla \cdot \bar{\mathbf{A}} \quad (1.34)$$

substituindo 1.34 em 1.25 vem

$$\bar{\mathbf{E}} = -j\omega\bar{\mathbf{A}} - j\frac{1}{\omega\varepsilon\mu} \nabla (\nabla \cdot \bar{\mathbf{A}}) \quad (1.35)$$

Em resumo, temos então que é possível calcular os campos $\bar{\mathbf{E}}$ e $\bar{\mathbf{H}}$ a partir da densidade de corrente $\bar{\mathbf{J}}$ utilizando apenas o potencial vector $\bar{\mathbf{A}}$ e as relações

$$\bar{\mathbf{H}} = \frac{1}{\mu} \nabla \times \bar{\mathbf{A}} \quad (1.36)$$

$$\bar{\mathbf{E}} = -j\omega\bar{\mathbf{A}} - j\frac{1}{\omega\varepsilon\mu} \nabla (\nabla \cdot \bar{\mathbf{A}}) \quad (1.37)$$

Resta-nos ainda encontrar a solução de 1.33 para que disponhamos de uma relação entre $\bar{\mathbf{A}}$ e $\bar{\mathbf{J}}$. O processo de resolução desta equação tem apenas interesse matemático, pelo que se mostra em 1.38 o resultado a que chegaríamos.

$$\bar{\mathbf{A}} = \frac{\mu}{4\pi} \int_{V'} \frac{\bar{\mathbf{J}} e^{-j\beta R}}{R} dV' \quad (1.38)$$

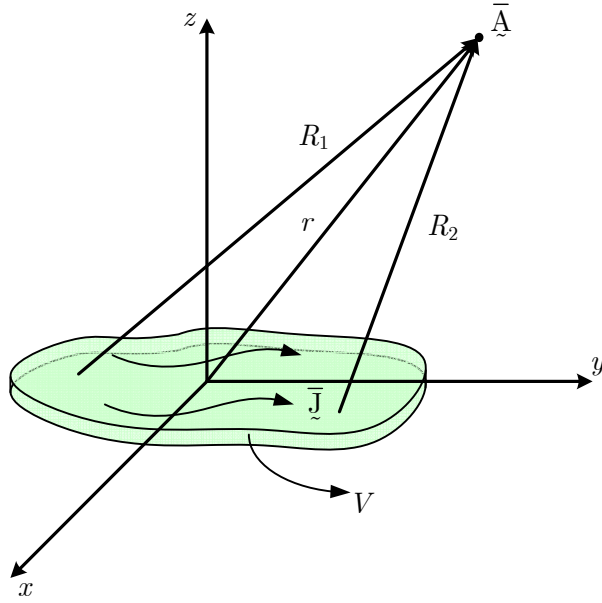


Figura 1.2: Potencial vector

Tal como explicitado na figura 1.2, V' representa o volume da antena e R representa a distância entre um qualquer ponto onde exista a corrente \vec{J} e um qualquer ponto do espaço onde pretendemos calcular o valor de \vec{A} .

Note-se que o potencial vector \vec{A} (tal como o potencial escalar $\bar{\phi}$) não tem qualquer significado físico. O seu interesse é simplesmente matemático pois permite simplificar o estudo dos problemas de radiação. Como curiosidade, note-se também que é possível calcular os valores dos campos \vec{E} e \vec{H} conhecendo apenas \vec{J} , não sendo necessário conhecer o valor de $\bar{\rho}$. Este facto deve-se a que \vec{J} e $\bar{\rho}$ não são independentes. De facto, aplicando o operador de divergência a cada um dos termos de

$$\nabla \times \vec{H} = j\omega\epsilon\vec{E} + \vec{J}$$

e utilizando

$$\nabla \cdot \vec{E} = \frac{\bar{\rho}}{\epsilon}$$

pode-se escrever

$$\nabla \cdot \vec{J} = -j\omega\bar{\rho} \quad (1.39)$$

A relação 1.39 representa a equação da continuidade de cargas eléctricas em regime harmónico sinusoidal e traduz a relação entre $\bar{\rho}$ e \vec{J} .

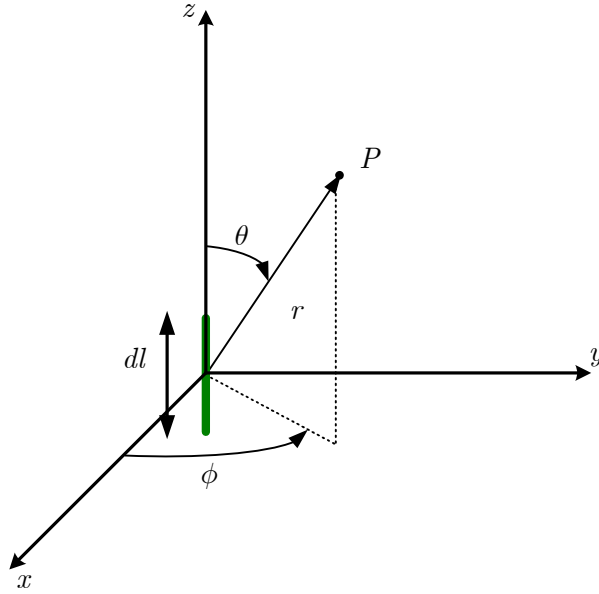


Figura 1.3: Dipolo eléctrico de *Hertz*

1.3 Dipolo Eléctrico de *Hertz*

O dipolo eléctrico de *Hertz*, mostrado na figura 1.3 com dimensões exageradas, é uma antena linear teórica infinitamente fina caracterizada por ter um tamanho dl infinitesimal e, portanto, pode ser considerada uma fonte pontual. Assume-se que a envolvente da corrente que o percorre é constante e está dirigida segundo o eixo de orientação do dipolo (neste caso, o eixo Oz). Embora este tipo de elementos não exista no mundo real é utilizado para modelar dipolos lineares curtos ($dl \ll \lambda$) carregados capacitivamente nos topos (a carga capacitiva serve para garantir uma corrente não nula nos topos) e serve também como elemento de base para o estudo de antenas mais elaboradas, como é o caso das antenas lineares. Além disto, do ponto de vista pedagógico, é um bom exemplo de aplicação do método de cálculo dos campos radiados apresentado anteriormente, pois os cálculos envolvidos são relativamente simples.

1.3.1 Campos radiados

Admitamos então que a corrente ao longo do elemento é constante e de amplitude I_M , isto é, em cada ponto da antena a corrente vale

$$\mathbf{I}(z', t) = I_M \cos(\omega t) \hat{\mathbf{a}}_z \quad (1.40)$$

onde z' representa as coordenadas locais. Em notação fasorial tem-se

$$\bar{\mathbf{I}}(z') = I_M \hat{\mathbf{a}}_z \quad (1.41)$$

O primeiro passo reside no cálculo do potencial vector correspondente a esta corrente. Dado o caracter pontual do dipolo de *Hertz*, podemos assumir as seguintes condições

$$x' = y' = z' = 0 \quad (1.42)$$

$$R = \sqrt{(x - x')^2 + (y - y')^2 + (z - z')^2} = \sqrt{x^2 + y^2 + z^2} = r \quad (1.43)$$

$$dV' = dz' \quad (1.44)$$

Como assumimos que o dipolo é infinitamente fino, então a corrente total $\bar{\mathbf{I}}$ e a densidade de corrente $\bar{\mathbf{J}}$ são iguais e o potencial vector reduz-se a

$$\bar{\mathbf{A}}(x, y, z) = \frac{\mu I_M}{4\pi r} e^{-j\beta r} \int_{-dl/2}^{+dl/2} dz' \hat{\mathbf{a}}_z = \frac{\mu I_M dl}{4\pi r} e^{-j\beta r} \hat{\mathbf{a}}_z \quad (1.45)$$

Dada a simetria do problema é vantajoso expressar o potencial vector em coordenadas esféricas, uma vez que é expectável que a solução final seja independente da coordenada ϕ . Recorrendo então à seguinte matriz de transformação

$$\begin{bmatrix} \bar{A}_r \\ \bar{A}_\theta \\ \bar{A}_\phi \end{bmatrix} = \begin{bmatrix} \sin \theta \cos \phi & \sin \theta \sin \phi & \cos \theta \\ \cos \theta \cos \phi & \cos \theta \sin \phi & -\sin \theta \\ -\sin \phi & \cos \phi & 0 \end{bmatrix} \begin{bmatrix} \bar{A}_x \\ \bar{A}_y \\ \bar{A}_z \end{bmatrix} \quad (1.46)$$

e como no caso em estudo temos que $\bar{A}_x = \bar{A}_y = 0$ obtém-se

$$\bar{A}_r = \bar{A}_z \cos \theta = \frac{\mu I_M dl e^{-j\beta r}}{4\pi r} \cos \theta \quad (1.47)$$

$$\bar{A}_\theta = -\bar{A}_z \sin \theta = -\frac{\mu I_M dl e^{-j\beta r}}{4\pi r} \sin \theta \quad (1.48)$$

$$\bar{A}_\phi = 0 \quad (1.49)$$

Conhecido o potencial vector podemos agora calcular os campos correspondentes. Para tal recorremos a

$$\bar{\mathbf{H}} = \frac{1}{\mu} \nabla \times \bar{\mathbf{A}} \quad (1.50)$$

Tendo em conta que $\nabla \times \bar{\mathbf{A}}$ deverá ser expresso em coordenadas esféricas, a expressão anterior reduz-se a

$$\bar{\mathbf{H}} = \frac{1}{\mu r} \left[\frac{\partial}{\partial r} (r \bar{A}_\theta) - \frac{\partial}{\partial \theta} \bar{A}_r \right] \hat{\mathbf{a}}_\phi \quad (1.51)$$

Efectuando as derivadas parciais chegaríamos a

$$\bar{H}_r = 0 \quad (1.52)$$

$$\bar{H}_\theta = 0 \quad (1.53)$$

$$\bar{H}_\phi = j \frac{\beta I_M dl \sin \theta}{4\pi r} \left[1 + \frac{1}{j\beta r} \right] e^{-j\beta r} \quad (1.54)$$

Para o cálculo de \bar{E} podemos recorrer à equação 1.14 donde resulta que

$$\bar{E} = \frac{1}{j\omega\epsilon} \nabla \times \bar{H} \quad (1.55)$$

Efectuando os cálculos chegaríamos a que

$$\bar{E}_r = \frac{Z I_M dl \cos \theta}{2\pi r^2} \left[1 + \frac{1}{j\beta r} \right] e^{-j\beta r} \quad (1.56)$$

$$\bar{E}_\theta = j \frac{Z I_M \beta dl \sin \theta}{4\pi r} \left[1 + \frac{1}{j\beta r} - \frac{1}{(\beta r)^2} \right] e^{-j\beta r} \quad (1.57)$$

$$\bar{E}_\phi = 0 \quad (1.58)$$

onde $Z = \sqrt{\mu/\epsilon}$ é a impedância do meio que envolve o dipolo. No vazio tem-se

$$Z = \sqrt{\frac{\mu_0}{\epsilon_0}} = 120\pi \quad (1.59)$$

Uma análise dos resultados obtidos revela que existem parcelas que decaem com $1/r^3$, outras com $1/r^2$ e outras com $1/r$. À medida que nos afastamos da antena cada uma destas parcelas vai perdendo peso relativamente às outras, existindo uma distância a partir da qual apenas as parcelas em $1/r$ têm relevância. Quando se atinge esta última região, diz-se que se está na zona distante de radiação. Normalmente, dadas as distâncias típicas envolvidas numa ligação entre dois pontos, a antena de recepção encontra-se na zona distante de radiação pelo que esta zona se reveste de maior importância. Então, aproveitando apenas os termos em $1/r$, os campos reduzem-se a

$$\bar{E}_\theta = j \frac{Z \beta I_M dl}{4\pi r} e^{-j\beta r} \sin \theta \quad (1.60)$$

$$\bar{H}_\phi = j \frac{\beta I_M dl}{4\pi r} e^{-j\beta r} \sin \theta \quad (1.61)$$

$$\bar{E}_r = 0 \quad (1.62)$$

$$\bar{E}_\phi = 0 \quad (1.63)$$

$$\bar{H}_r = 0 \quad (1.64)$$

$$\bar{H}_\theta = 0 \quad (1.65)$$

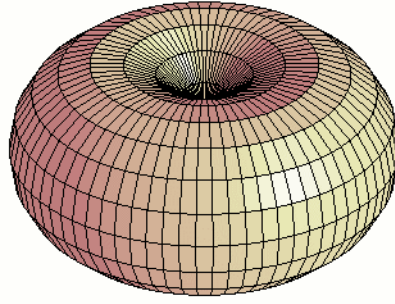


Figura 1.4: Campo eléctrico de um dipolo de *Hertz* orientado segundo Oz

Deste resultado podemos concluir que, sendo os campos da forma $\frac{e^{-j\beta r}}{r}$, então as ondas radiadas são ondas esféricas, uma vez que as regiões de fase constante formam esferas. Pode concluir-se também que os campos oscilam em fase e que existe ortogonalidade entre estes e a direcção de propagação. Conclui-se ainda que $\bar{\mathbf{E}}$ e $\bar{\mathbf{H}}$ estão relacionados pela impedância característica do meio, uma vez que

$$\frac{E_\theta}{H_\phi} = Z \quad (1.66)$$

Na figura 1.4 é mostrada a forma como o campo eléctrico do dipolo de *Hertz* se distribui na zona distante de radiação. A radiação é feita com maior intensidade segundo as direcções transversais à orientação do dipolo ($\theta = \pi/2$) e é nula para as direcções correspondentes ao alinhamento do dipolo (neste caso é nulo segundo o eixo Oz , ou seja, $\theta = 0$).

1.3.2 Potência radiada

Em regime harmónico sinusoidal, o valor médio da densidade de potência associada a uma onda electromagnética pode ser obtido fazendo

$$\langle \mathbf{S} \rangle = \frac{1}{2} \Re \{ \bar{\mathbf{E}} \times \bar{\mathbf{H}}^* \} \quad (1.67)$$

Para o caso particular do dipolo de *Hertz* tem-se

$$\langle \mathbf{S} \rangle = \frac{1}{2} \Re \{ (\bar{\mathbf{E}}_r \hat{\mathbf{a}}_r + \bar{\mathbf{E}}_\theta \hat{\mathbf{a}}_\theta) \times \bar{\mathbf{H}}_\phi^* \hat{\mathbf{a}}_\phi \} \quad (1.68)$$

$$= \frac{1}{2} \Re \{ \bar{\mathbf{E}}_\theta \bar{\mathbf{H}}_\phi^* \hat{\mathbf{a}}_r - \bar{\mathbf{E}}_r \bar{\mathbf{H}}_\phi^* \hat{\mathbf{a}}_\theta \} \quad (1.69)$$

de onde se pode escrever

$$\langle \mathbf{S} \rangle = S_r \hat{\mathbf{a}}_r + S_\theta \hat{\mathbf{a}}_\theta \quad (1.70)$$

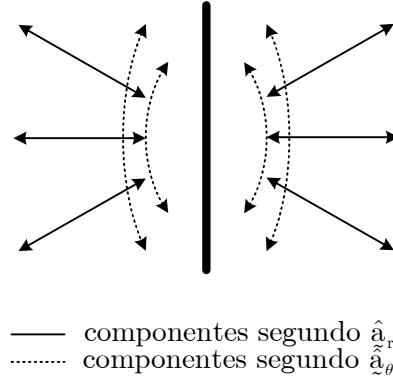


Figura 1.5: Interpretação gráfica do fluxo de potência associada a um dipolo de *Hertz*

com

$$S_r = \frac{1}{2} \Re\{\bar{E}_r \bar{H}_\phi^*\} \quad (1.71)$$

$$S_\theta = -\frac{1}{2} \Re\{\bar{E}_r \bar{H}_\phi^*\} \quad (1.72)$$

Efectuando os cálculos resulta

$$S_r = \frac{Z}{8} \left(\frac{I_M dl}{\lambda} \right)^2 \frac{\sin^2 \theta}{r^2} \left[1 - j \frac{1}{(\beta r)^3} \right] \quad (1.73)$$

$$S_\theta = jZ \frac{\beta (I_M dl)^2}{16\pi^2 r^3} \sin \theta \cos \theta \left[1 + \frac{1}{(\beta r)^2} \right] \quad (1.74)$$

A densidade de potência que flui segundo \hat{a}_θ é imaginária pura, pelo que se trata de uma potência reactiva armazenada. A componente radial (densidade potência que flui segundo \hat{a}_r) divide-se numa parte real e numa parte imaginária, esta última também associada uma parcela de potência reactiva armazenada. Note-se que as componentes imaginárias decaem muito mais rapidamente do que a componente real pelo que a potência reactiva só existe (ou, por outras palavras, só é armazenada) em torno da antena. Uma interpretação gráfica destes termos é mostrada na figura 1.5.

A potência radial associada ao dipolo de *Hertz* (isto é, a potência total que se desloca segundo \hat{a}_r e se afasta da antena), pode ser obtida calculando o fluxo da densidade de potência por uma superfície fechada

$$P_{rad} = \oint_S \langle S \rangle \cdot d\mathbf{S} \quad (1.75)$$

Considerando uma superfície esférica, então, em coordenadas esféricas tem-se

$$d\mathbf{S} = dS \hat{a}_r = r^2 \sin \theta d\theta d\phi \hat{a}_r \quad (1.76)$$

de onde se obtém

$$\begin{aligned}
 P_{rad} &= \oint_S \langle \mathbf{S} \rangle \cdot d\mathbf{S} \\
 &= \int_{\theta=0}^{2\pi} \int_{\phi=0}^{\pi} (S_r \hat{\mathbf{a}}_r + S_\theta \hat{\mathbf{a}}_\theta) \cdot (r^2 \sin \theta d\theta d\phi \hat{\mathbf{a}}_r) \\
 &= \int_{\theta=0}^{2\pi} \int_{\phi=0}^{\pi} S_r \hat{\mathbf{a}}_r r^2 \sin \theta d\theta d\phi \\
 &= Z \frac{\pi}{3} \left(\frac{I_M dl}{\lambda} \right)^2 \left[1 - j \frac{1}{(\beta r)^3} \right]
 \end{aligned}$$

Concentremo-nos agora apenas na zona distante de radiação. Aproveitando então apenas os termos do campo que variam segundo $1/r$ e repetindo os passos dados no cálculo da potência vem

$$\langle \mathbf{S} \rangle = \frac{1}{2} \Re \{ \bar{\mathbf{E}}_\theta \hat{\mathbf{a}}_\theta \times \bar{\mathbf{H}}_\phi^* \hat{\mathbf{a}}_\phi \} = \frac{1}{2} \Re \{ \bar{\mathbf{E}}_\theta \bar{\mathbf{H}}_\phi^* \} \hat{\mathbf{a}}_r \quad (1.77)$$

o que resulta numa densidade de potência com uma amplitude dada por

$$S = \frac{1}{2} \Re \{ \bar{\mathbf{E}}_\theta \bar{\mathbf{H}}_\phi^* \} = \frac{|E_\theta|^2}{2Z} = \frac{Z |H_\phi|^2}{2} = \frac{I_M^2 Z \beta^2 dl^2}{32\pi^2 r^2} \sin^2 \theta \quad (1.78)$$

Para a potência radial associada à onda electromagnética obtém-se

$$\begin{aligned}
 P_{rad} &= \oint_S \langle \mathbf{S} \rangle \cdot d\mathbf{S} = \oint_S S dS \\
 &= \int_{\phi=0}^{2\pi} \int_{\theta=0}^{\pi} \frac{I_M^2 Z \beta^2 dl^2}{32\pi^2 r^2} \sin^2 \theta r^2 \sin \theta d\theta d\phi \\
 &= Z \frac{\pi}{3} \left(\frac{I_M dl}{\lambda} \right)^2
 \end{aligned}$$

o que corresponde à parte real da potência radial obtida utilizando as expressões gerais do campo produzido por um dipolo de *Hertz*. Concluí-se também daqui que as componentes imaginárias de potência estão associadas ao campo armazenado na zona próxima, uma vez que são nulas na zona distante de radiação. Note-se ainda que a potência total na zona distante de radiação é independente da distância e corresponde à potência que está a ser entregue à antena e a ser radiada por esta.

